

## マサ土の風化度と引張強度について

京都大学工学部 正員 工博 松尾新一郎  
京都大学工学部 正員 工修○澤 孝平

1. まえがき 本研究はマサ土の母岩である風化花崗岩の性質について研究したものであり、風化の程度を表わす指標について考察し、さうに引張強度との関係、破壊機構と風化の進行過程の関係について考察した。

2. 試料 試料は国鉄山陽新幹線神戸駅予定地西側トンネル工事現場から採取した。地表面から 50~90 m の深さにあり、坑口から順に採取したもので、順次風化の程度の異なる、計 4 種である。試料 A が最も新鮮な岩で、試料 D が強く風化されていり。

3. 実験方法 風化は化学的風化と物理的風化の 2 種に分類でき、風化の程度の表示も 2 つに分けて考えねばならぬ。化学的風化の指標としては鉱物粒子の変化量、たゞえば二次鉱物量とか、鉱物粒子を構成するイオンの流出量や、その結果として考えられる長石比重、単位体積重量、吸水率の変化がある。一方物理的風化の指標としては単位長さ当たりのクラックの数がある。本研究では単位体積重量、吸水率、長石比重、反撹係数について考察した。以下これら 4 つの指標の測定法について述べる。

1) 単位体積重量：1 辺約 1 cm の立方体試料の乾燥重量 ( $W_0$ ) と、水銀法で測定した体積 ( $V$ ) により、 $W_0/V$  で表わした。

2) 吸水率：単位体積重量に用いた試料について、48 時間水浸後の表乾重量 ( $W_w$ ) を計り、次式で求めた。吸水率 =  $(W_w - W_0)/(V \cdot V_w)$  ( $V_w$  は水の単位体積重量)

3) 長石比重：試料を鉱物粒子に碎き、着色法にて長石粒子を選別し、重液と比重計により測定した。<sup>3)</sup>

4) 反撹係数：約 5 × 5 × 3 cm の試料を支持盤板にパラフィンで固定し、振子（長さ 35 cm の糸の先に重量 1/4 g の鉄球をつけたもの）を 30° の角度から衝突させ、はじめ返る角度θ から、 $2.732 \sqrt{1 - \cos \theta}$  により反撹係数を計算した。各試料につき 15 回行ない平均値を求めて。

風化花崗岩の引張試験は前報で述べた装置で行なった。引張破壊後、断面を観察し、破壊型式を粒内破壊（石英-石英、長石-長石、雲母-雲母）、粒界破壊（石英-長石、長石-雲母、雲母-石英）の 6 種に分類して、それらの面積比を計測した。

### 4. 結果・考察

4.1. 風化度の指標の比較 風化度の比較のために、風化の基準として従来から用いられてきた単位体積重量を採用した。図-1(a) は、吸水率、引張強度と単位体積重量とを比較したものである。吸水率は単位体積重量と直線関係であり、風化度のよき指標と考えられる。すなわち岩の風化により生じる空隙の量を明め可るものである。

図-1(b) は反撹係数の平均値と長石比重を単位体積重量と比較した。長石比重は本研究で用いた軟岩以上の岩についてあくまで著しい変化はみられなかつたが、より風化の進んだマサ土には有効なることが分かつている。<sup>3)</sup> 反撹係数の平均値は、単位体積重量とともに、

一様な変化をしてはいるが、その変化量が小さいことと、本研究では試料の固定状態によりバラツキが大きいことから、風化度の指標としては他のものと比して劣っていると考える。しかし測定方法が簡単であるから、適用方法により有効に利用できることであろう。

#### 4.2. 風化度と引張強度

風化の進行に伴ない、引張強度が減少することは前報でも述べた。<sup>17)</sup>

図-1(a)によつてもこの傾向はみられるが、試料CとDの関係は逆の結果となつてゐる。これは試料Cが化学的風化と同時に、単位体積重量では表わしえないような作用を受け、鉱物粒子の変質、弱化化が生じたためと考えられる。そして強度は化学的風化作用と、上記の弱化化の総合的な結果を示すもので、吸水率などとは異なり、風化の指標である。

#### 4.3. 風化の進行過程 図-2

破壊断面積比、粒界破壊、石英粒内破壊、長石粒内破壊についてまとめてみるのである。試料AからB,C,Dを経てDに至る破壊（各試料の平均値を結ぶE）により、風化の進行過程が推察できる。すなはちAからBに向う風化は初期段階のもので、粒界の風化に伴ない、粒界破壊が増大する過程である。次に粒界の風化があつて程度進むと、BからC,Dへ向う風化過程となる。ここでは長石の風化により、長石粒子内の破壊割合が増加する。

5. あとふき 本研究は文部省科学研究所で行はれ、なものである。

参考文献 ① 松尾澤：「マナカの破壊機構について」  
第3回年次学術講演会概要、pp.167, 補43.

2). J.L. Nold, K.P. Erickson: "Change in K-Feldspar Staining Method and Adaptation for Field Use." The American Mineralogist, Vol.51, pp.63-68, 1966.  
3). 松尾西由：「花崗岩の真砂化とその物理的工学的性質について」東洋工業技術研究所報告書第3号、pp.63-68, 1961.

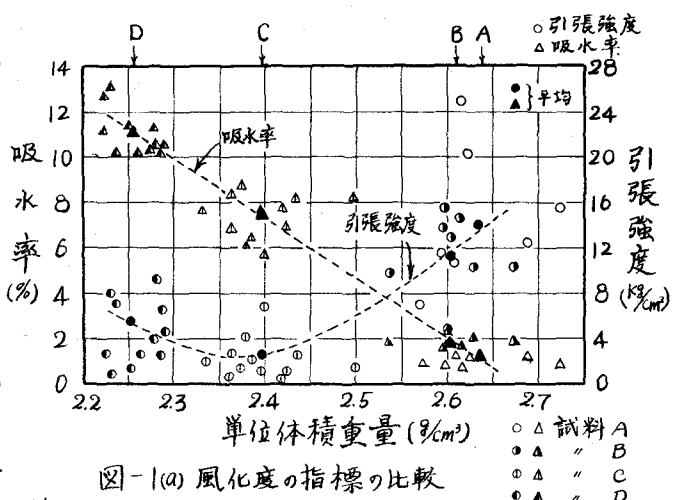


図-1(a) 風化度の指標の比較

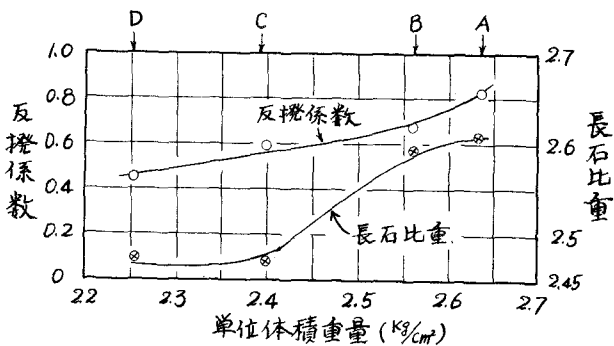


図-1(b) 風化度の指標の比較

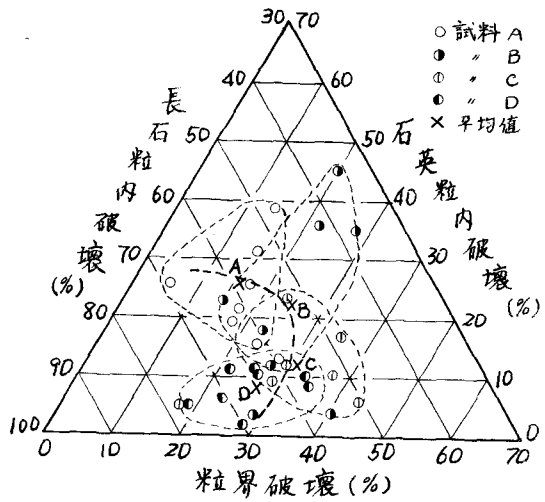


図-2 風化と破壊断面積比